

симостей  $\Delta$ ,  $C$  и  $\rho$  от температуры) требует отдельного рассмотрения.

## Л и т е р а т у р а

- [1] E n o m o t o Y., M u r a k a m i T., S u z u k i M., M o r i w a k i K. - Jap. J. Appl. Phys., 1987, v. 26, N 7, p. 1248-1250.
- [2] C h a u d h a r i P., K o s c h R.H., L a i b o w i t z R.B. et al. - Phys. Rev. Lett., 1987, v. 58, N 25, p. 2684-2686.
- [3] А л ь т о в В.А., З е н к е в и ч В.Б., К р е м л е в М.Г., С ы ч е в В.В. Стабилизация сверхпроводящих магнитных систем, М.: Энергия, 1975. 332 с.
- [4] C h e n W.G., P u r s e l l J.R. - Appl. Phys. Lett., 1977, v. 31, N 2, p. 127-129.
- [5] Г у р е в и ч А.В., М и н ц Р.Г. Тепловые автоволны в нормальных металлах и сверхпроводниках, М.: ИВТАН, 1987. 167 с.
- [6] М а л к о в М.П., Д а н и л о в И.Б., З е л ь д о - в и ч А.Г., Ф р а д к о в А.Б. Справочник по физико-техническим основам криогеники, М.: Энергоатомиздат, 1985. 431 с.
- [7] С а м а р с к и й А.А., З м и т р е н к о Н.В., К у р д ю м о в С.П., М и х а й л о в А.П. - ДАН СССР, 1976, т. 227, № 2, с. 321-324.
- [8] В а с и л ь е в В.А., Р о м а н о в с к и й Ю.М., Я х н о В.Г. - УФН, 1979, т. 128, в. 4, с. 625-666.
- [9] С а м а р с к и й А.А., З м и т р е н к о Н.В., К у р д ю м о в С.П., М и х а й л о в А.П. - Письма в ЖТФ, 1977, т. 26, с. 620-623.
- [10] А х м е т о в А.А., М и н ц Р.Г. - Письма в ЖТФ, 1983, т. 9, № 21, с. 1306-1310.

Всесоюзный научно-исследовательский институт метрологической службы (ВНИИМС), Москва

Поступило в Редакцию  
14 апреля 1988 г.

Письма в ЖТФ, том 14, вып. 14

26 июля 1988 г.

## О СТРУКТУРЕ СРЕДЫ ВБЛИЗИ ПОРОГА ПРОТЕКАНИЯ В ДВУМЕРНОМ СЛУЧАЕ

С.П. Л у к ь я н е ц, А.А. С н а р с к и й

Структура среды вблизи порога протекания и ее связь с эффективной проводимостью исследуется давно. Первая модель для случая  $\rho > \rho_c$  ( $\rho$  - концентрация металла,  $\rho_c$  - порог протекания) была

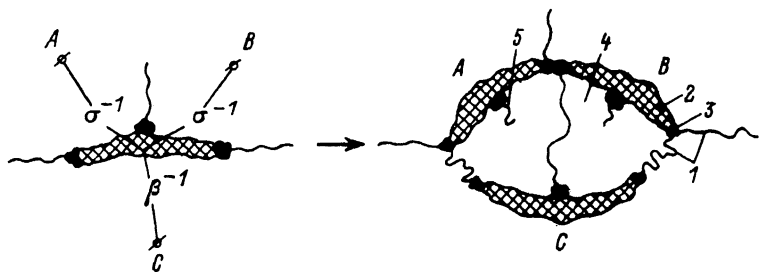


Рис. 1. Капельно-пузырьковая модель вблизи порога протекания ( $\rho < \rho_c$ ). Слева - одиночная капля масштаба  $b$ , стрелкой показан фрактальный закон роста капли, капля справа размера  $zb$  ( $z = \sqrt{3}$ ) состоит из трех размера  $b$ . 1 - прослойка, 2 - капля, 3 - пузырек (диэлектрик), 4 - металл, 5 - "мертвые" прослойки.

предложена в [1] (модель Скал-Шкловского-де Жена). В дальнейшем случае  $\rho > \rho_c$  уделялось много внимания и развитие этой модели шло разными путями - в [2] были предложены так называемые цветные связи, в [3] - капли (см. также [4]), было привлечено понятие дробной размерности (фракталы) [5].

Модели при  $\rho < \rho_c$  "повезло" меньше. Возможно, это связано с тем, что если простейшая модель [1] для  $\rho > \rho_c$  отказывает в двумерном ( $2D$ ) случае (в связи с чем и возникла необходимость введения капель [4]), но хорошо работает в  $3D$ , то простейшая одножильная модель при  $\rho < \rho_c$ , строго говоря, не работает не только в  $2D$ , но и в  $3D$ . Причина состоит в том, что в одножильной модели вычисления, аналогичные случаю  $\rho > \rho_c$  ([6] стр. 171), приводят к тому, что при  $\rho \rightarrow \rho_c$  длина прослойки  $L$  растет медленнее корреляционной длины. Поэтому после построения простейшей модели среды при  $\rho < \rho_c$  необходимо сразу же переходить к более сложной.

В настоящей работе предлагается капельно-пузырьковая модель среды при  $\rho < \rho_c$  (рис. 1). Новыми по сравнению с простейшей моделью элементами структуры являются пузырьки - области диэлектрика, через которые ток не течет. Сразу же ясно, что поскольку теперь прослойка не протянута через весь корреляционный объем, то  $L/\xi \sim (\rho_c - \rho)^{\nu-1}$  ( $\nu_2 \approx 1.3$ ) не приводит при  $\rho \rightarrow \rho_c$  к противоречию.

Расчет критического индекса проводимости  $\varphi$ ,

$$\sigma^e(\rho) \sim (\rho_c - \rho)^{-\varphi} \quad (1)$$

в такой модели производится ренормгрупповым преобразованием, аналогичным работе [4].

На рис. 1 показана электрическая схема замещения одиночной анизотропной капли ( $\sigma$ ,  $\beta$  - проводимости). Проводимость капли

на масштабе  $\delta - \sigma_{AB}(\delta)$  и  $\sigma_{AC}(\delta)$  (между точками А-В и А-С) следующим образом выражается через  $\sigma(\delta)$  и  $\beta(\delta)$

$$\sigma_{AB}^{-1}(\delta) = 2\sigma^{-1}(\delta), \quad \sigma_{AC}^{-1}(\delta) = \sigma^{-1}(\delta) + \beta^{-1}(\delta). \quad (2)$$

Каждая из прослоек толщиной  $\alpha_0$  (характерный размер элементов, из которых образована случайно-неоднородная среда) имеет на масштабе  $\delta$  проводимость  $\sigma_p(\delta) \sim \delta^\lambda$  и может быть пробита с вероятностью 0,5.

Рассматривая среднее проводимостей на масштабе  $z\delta$  между точками А-В и А-С, взятое по всем конфигурациям, задаваемым различными наборами непробитых прослоек, входящих в структуру капли, и учитывая (2), получим

$$f(z\delta) = 2z^{-\lambda} f(\delta) G(f, \psi, \delta), \quad (3)$$

$$(1 + \psi(z\delta))^{-1} = L(f, \psi, \delta) G^{-1}(f, \psi, \delta), \quad (4)$$

где  $f(\delta) = \sigma(\delta)/\sigma_p(\delta)$ ,  $\psi(\delta) = \sigma(\delta)/\beta(\delta)$ ,  $z = \sqrt{3}$  - масштабный коэффициент (капля распадается на три),

$$G(f, \psi) = [(3+f)(2+4\psi+f+f\psi)^2(3+3f+6\psi+2f\psi)^{-1}(1+2\psi)^{-5} \times \\ \times (2+2f+8\psi+8\psi^2+2\psi^2f+5\psi f)^2]^{1/8},$$

$$L(f, \psi) = [(1+4f+6\psi+2f\psi+f^2)(1+2\psi+f)(2+4\psi+f\psi+f)(1+2\psi+ \\ +2f)^{-1}(1+2\psi)^{-7}(2+3f+f\psi+4\psi)^{-1}(3+12\psi+18f\psi+8f+12\psi^2+6\psi^2f+3f^2+ \\ +2\psi f^2)]^{1/8}.$$

Предполагая, что процедура перехода ко все большему масштабам (в  $z$ ,  $z^2$ ,  $z^3$ , ... раз) является сходящейся, и линеаризуя уравнение (3) вблизи устойчивых точек (3) и (4) -  $f^*$  и  $\psi^*$ , которые равны нулю, получаем

$$f(z\delta) = 2z^{-\lambda} f(\delta) G(0, 0). \quad (5)$$

Автомодельное решение последнего уравнения имеет вид:

$$f(\delta) \sim \delta^\mu, \quad \mu = \frac{\ln 2}{\ln z} - \lambda. \quad (6)$$

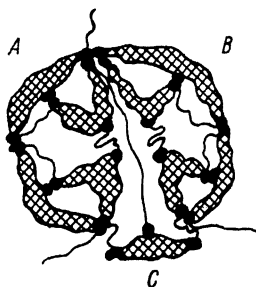
Рассматривая  $f = \sigma/\sigma_p$  на корреляционной длине  $\xi$ , получаем  $\sigma(\xi) = \xi^{\ln 4 / \ln 3}$ , откуда с учетом  $\xi \sim (\rho_c - \rho)^{-\nu}$  находим концентрационное поведение эффективной проводимости

$$\sigma^e(\rho) \sim (\rho_c - \rho)^{-\nu \frac{\ln 4}{\ln 3}} \quad (7)$$

и критический индекс  $q$  ( $\sigma^e(\rho) \sim (\rho_c - \rho)^{-q}$ )

$$q_2 = \nu_2 \frac{\ln 4}{\ln 3} \approx 1.68, \quad (8)$$

Рис. 2. Общий вид конфигурации из девяти капель.



что с учетом простоты модели (капля состоит из трех) удовлетворительно согласуется с известным значением, полученным численными методами  $\varphi_2 \approx 1.3$ . При выборе более сложной модели (капля состоит из девяти капель – рис. 2) критический индекс уменьшается от 1.68 до 1.39.

Заметим, что если при  $\rho > \rho_c$  в  $2D$  и  $3D$  геометрическая структура среды одна и та же – канал протекания – металлическая нить, то при переходе от  $2D$  к  $3D$  ( $\rho < \rho_c$ ) диэлектрическая прослойка переходит в поверхность. В заключение необходимо отметить, что существует еще один подход к описанию кинетических явлений при  $\rho < \rho_c$  – явное введение дробной (фрактальной) размерности элементов структуры [7, 8].

Мы глубоко признательны А.М. Дыхне, А.Я. Шиху, Б.И. Шкловскому за обсуждение работы.

#### Л и т е р а т у р а

- [1] Скал А.С., Шкловский Б.И. – ФТП, 1974, т. 8, № 8, с. 1586–1592.
- [2] Pike R., Stanley H.E. – J. Phys.: A, 1981, v. 14, N 5, p. L196–L207.
- [3] Stanley H.E. – J. Phys.: A, 1977, v. 10, N 11, p. L211–L220.
- [4] Виноградов А.П., Сарычев А.К. – ЖЭТФ, 1983, т. 85, № 3, с. 1144–1152.
- [5] Соколов И.М. – УФН, 1986, т. 150, № 2, с. 221–255.
- [6] Шкловский Б.И., Эфрос А.Л. Электронные свойства легированных полупроводников, М.: Наука, 1979. 461 с.
- [7] Ohtsuki T., Keyes T. – J. Phys.: A, 1984, v. 17, N 11, p. L559–L563.
- [8] Stanley H.E. – Fractals Phys. Proc. Int. Trieste, July, 9–12, 1985, Amsterdam, 1986, p. 327–335.

Киевский политехнический институт им. 50-летия Великой Октябрьской социалистической революции

Поступило в Редакцию  
6 апреля 1988 г.